

05; 07

© 1990 г.

## ПИРОЭЛЕКТРИЧЕСКИЕ ЯВЛЕНИЯ В МЕТАГЕРМАНАТЕ ЛИТИЯ

*C. L. Бравина, A. K. Кадащук, H. B. Морозовский,  
H. I. Остапенко, Ю. А. Скрышевский*

В интервале температур 4.2—300 К изучены пироэлектрические явления — пироэффект и пиролюминесценция в кристаллах метагерманата лития  $\text{Li}_2\text{GeO}_3$ . Получена корреляция в поведении динамического пиротклика и интенсивности пиролюминесценции  $\text{Li}_2\text{GeO}_3$ . Существенное изменение пироэлектрических характеристик, электропроводности и пиролюминесценции при термоциклизации в условиях пониженного давления связывается с локальным электрическим проблем областей кристалла с пониженной диэлектрической прочностью вследствие возникновения высоких электрических полей пироэлектрической природы.

Метагерманат лития ( $\text{Li}_2\text{GeO}_3$ ) известен как пьезоактивный материал, перспективный для применения в акустоэлектронике и акустооптике [1—5]. В отличие от хорошо изученного пьезоэффекта пироэлектрические явления в  $\text{Li}_2\text{GeO}_3$  (группа симметрии  $C_{2h}^{12}$ ) мало изучены. Известно, что для полярного среза кристалла при комнатной температуре величина пирокоэффициента составляет  $\gamma \approx 2 \cdot 10^{-5}$  Кл/м<sup>2</sup>·К, а диэлектрическая проницаемость  $\epsilon \approx 10$  [5]. Сравнительно большие величины отношения  $\gamma/\epsilon$  указывают на возможность существования в  $\text{Li}_2\text{GeO}_3$  пироэлектрической люминесценции (ПЭЛ) — явления, связанного с высокими значениями пироэлектрического поля  $E_p = (\gamma/\epsilon\epsilon_0) \Delta T$ , возникновение и изменение которого при изменении температуры  $\Delta T$  отражает изменение спонтанной поляризации  $P_s$  полярных кристаллов [6, 7] ( $\gamma = dP_s/dT$ ,  $\epsilon_0 = 8.85 \cdot 10^{-12}$  Ф/м).

Целью настоящей работы является изучение в интервале температур 4.2—300 К пироэлектрических явлений — пироэффекта и ПЭЛ в кристаллах  $\text{Li}_2\text{GeO}_3$ .

Монокристаллы  $\text{Li}_2\text{GeO}_3$  были выращены методом Чохральского в Днепропетровском госуниверситете [3]. Образцы имели форму плоскопараллельных пластин толщиной 0.5—1.0 мм и площадью 20—40 мм<sup>2</sup>. Золотые электроды наносились вакуумным напылением. Перед измерениями образцы не подвергались ни температурной, ни полевой обработке. Исследования проводились в регулируемом оптическом азотно-гелиевом криостате.

Пироэффект изучался с помощью малосигнального динамического метода [8]. При этом образец облучался синусоидально модулированным тепловым потоком интенсивностью примерно  $10^{-5}$  Вт/мм<sup>2</sup>, а снимаемый с электродов сигнал пиротклика  $U_p$  регистрировался усилительно-измерительным трактом. Измерения  $U_p$  проводились как в режиме пиротока, когда  $U_{p1} \sim \gamma/c$  ( $c$  — объемная теплоемкость), так и в режиме пироэдс, когда  $U_{p2} \sim \gamma/c\epsilon$ . Эти режимы выполняются, когда величина  $\omega RC$ , определяющая амплитуду и фазу  $U_p$ , соответственно много меньше или много больше единицы ( $\omega$  — циклическая частота модуляции теплового потока,  $R = (R_{p1}^{-1} + R_o^{-1})^{-1}$ ,  $R_p$  — сопротивление нагрузки,  $R_o$  — сопротивление образца;  $C = C_b + C_o$ ,  $C_b$  — входная емкость измерительного тракта,  $C_o$  — емкость образца).

Пироэлектрическая люминесценция регистрировалась фотоэлектронным умножителем ФЭУ-79, соединенным с помощью согласующего каскада с высоким

входным и низким выходным сопротивлением с самопишуцим прибором. Одновременно с записью сигнала ПЭЛ проводилась также запись токов, протекающих в цепи образца при изменении температуры.

При охлаждении и нагреве монокристаллов  $\text{Li}_2\text{GeO}_3$  возникает излучение, характеристики которого соответствуют явлению ПЭЛ [7, 9]. Это излучение наблюдается в интервале длин волн 330—750 нм и состоит из отдельных вспышек света различной интенсивности, расположенных на непрерывном фоне (рис. 1). В ряде случаев очередная вспышка света сопровождается гашением ПЭЛ, после чего наблюдается постепенное разгорание ПЭЛ до очередной вспышки. Картина ПЭЛ  $\text{Li}_2\text{GeO}_3$  качественно подобна картине «искрового» свечения кристаллов  $\text{LiNbO}_3$  и  $\text{LiTaO}_3$  [10] и наблюдается для образцов Z- и X-среза. Наличие электродов существенно не изменяет наблюданную картину ПЭЛ кристаллов  $\text{Li}_2\text{GeO}_3$ ,  $\text{LiNbO}_3$  и  $\text{LiTaO}_3$ . Замыкание электродов в процессе

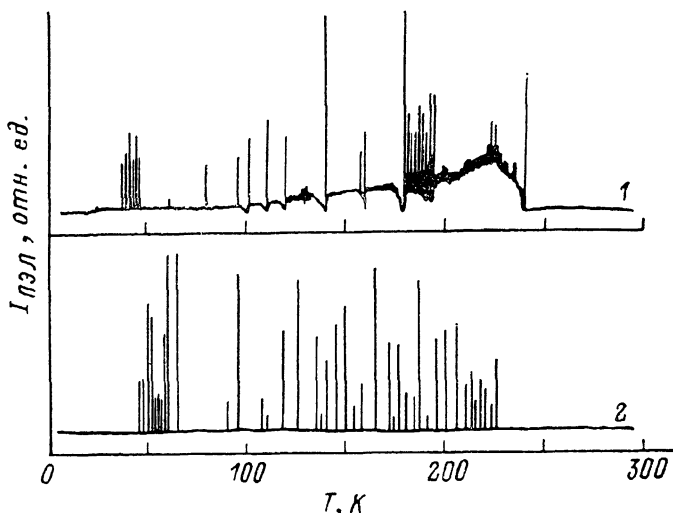


Рис. 1. Температурные зависимости  $I_{\text{ПЭЛ}}$  кристалла  $\text{Li}_2\text{GeO}_3$  в режиме охлаждения при  $dT/dt = 5 \text{ К/мин}$ ,  $P = 10^5 \text{ Па}$ .

1 — до термоциклирования, 2 — после восстановления в электрическом поле.

измерения ПЭЛ также не приводило к ее существенным изменениям. Синхронно со вспышками ПЭЛ во внешней цепи образца протекают импульсы тока, полярность которых различна при охлаждении и нагреве, что свидетельствует об изменении знака выделяющегося пироэлектрического заряда.

Амплитуда и частота следования вспышек света и соответственно импульсов тока изменяются в зависимости от скорости изменения температуры  $dT/dt$  и давления  $P$  окружающего газа (гелия). При понижении  $P$  в интервале  $10^5$ — $10^3 \text{ Па}$  интенсивности ПЭЛ  $I_{\text{ПЭЛ}}$  и импульсов тока  $J$  увеличиваются, а при дальнейшем понижении давления до  $P=5$ — $10 \text{ Па}$  уменьшаются. Исследования этих зависимостей в разреженной атмосфере показали, что при непрерывном изменении температуры кристалла зависимость  $J(T)$  приобретает «пилообразную» форму (рис. 2, кривая 1). В этом случае ПЭЛ наблюдается только в тех интервалах температур, где происходит рост  $J$ , и отсутствует в интервалах, соответствующих уменьшению тока (рис. 2, кривая 2).

Наличие ПЭЛ в широком интервале температур указывает на сохранение пироактивности  $\text{Li}_2\text{GeO}_3$  и при низких температурах. Полученные для Z-среза температурные зависимости  $\dot{U}_{12} \sim \gamma/\text{с}^{\epsilon}$  приведены на рис. 3. На X-срезе пироэффект незначителен и связан, по-видимому, с наличием ростовых неоднородностей, как, например, в кристаллах  $\text{LiNbO}_3$  [6, 11]. При этом  $I_{\text{ПЭЛ}}$  кристалла  $\text{Li}_2\text{GeO}_3$  для X-среза также значительно слабее, чем наблюдаемая для Z-среза.

Определенная по отношению  $U_{11}/U_{12}$  величина  $\epsilon \sim 12$  близка к известной  $\epsilon_{33}=9.8-12.1$  [1-5] и незначительно изменяется во всем исследованном интервале температур.

В области низких температур наблюдается участок резкого изменения  $U_{\text{пп}}$ , ограниченный локальными максимумом вблизи 25 К и минимумом вблизи 5.5 К. Такое поведение  $U_{\text{пп}}$  кристалла  $\text{Li}_2\text{GeO}_3$  подобно описанному в [12] поведению  $\gamma/\text{с}$  кристаллов  $\text{LiNbO}_3$  и  $\text{LiTaO}_3$ . В [12] наличие участка сильной зависимости  $\gamma/\text{с}$  выше 10 К и максимум вблизи 30 К в этих кристаллах интерпретированы в рамках модели одной низкочастотной ангармонической оптической моды с частотой  $\nu \approx 70 \text{ см}^{-1}$ . Низкотемпературное поведение  $U_{\text{пп}}$  кристалла  $\text{Li}_2\text{GeO}_3$  также можно описать вкладом одной моды с  $\nu \approx 40 \text{ см}^{-1}$ . Поведение  $U_{\text{пп}}$   $\text{Li}_2\text{GeO}_3$  ниже 5 К можно связать со спецификой поведения низкотемпературных тепловых свойств полярных материалов [13], когда при понижении температуры уменьшение  $\gamma$  происходит более медленно, чем уменьшение  $c$ .

При изменении температуры со скоростью 5–10 К/мин в интервале 100–300 К наряду с плавным изменением  $U_{\text{пп}}(T)$  наблюдаются его скачкообразные

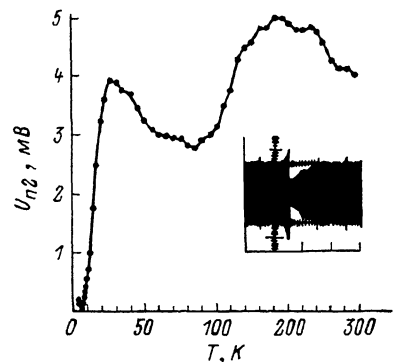
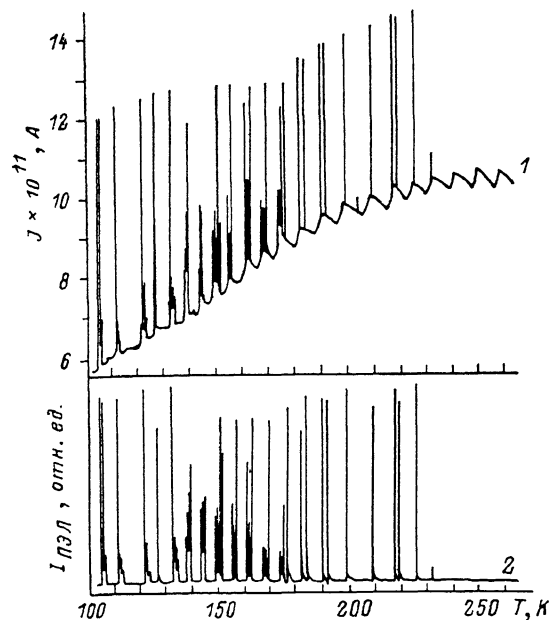


Рис. 3. Температурная зависимость  $U_{\text{пп2}}$  кристалла  $\text{Li}_2\text{GeO}_3$ .

На вставке фрагмент осциллограммы при скачкообразном изменении  $U_{\text{пп2}}$ .

←  
Рис. 2. Температурные зависимости  $J$  (1) и  $I_{\text{ПЭЛ}}$  (2) кристалла  $\text{Li}_2\text{GeO}_3$  в режиме охлаждения при  $dT/dt=5 \text{ К/мин}$ ,  $P=30 \text{ Па}$ .

изменения, происходящие вслед за импульсами, подобными импульсам теплового эффекта Баркгаузена [14], которые регистрировались на экране осциллографа одновременно с сигналом  $U_{\text{пп}}$  (рис. 3, вставка). При стабилизации температуры после скачкообразного изменения  $U_{\text{пп}}$  наблюдается его плавное изменение до достижения стационарного значения. После нескольких циклов изменения температуры при незакороченных электродах в вакууме  $P=10 \text{ Па}$  наблюдается существенное понижение  $I_{\text{ПЭЛ}}$  и  $J$  при одновременном уменьшении  $U_{\text{пп1}}$  в 1.5–2 раза и  $U_{\text{пп2}}$  в 5–10 раз по сравнению с их исходными значениями. При этом фаза  $U_{\text{пп2}}$  приближается к фазе  $U_{\text{пп1}}$ , что отражает нарушение режима пироэдс вследствие уменьшения величины  $\omega RC$  и служит указанием на существенное уменьшение  $R_0$ . Измерения мостовым методом показали, что изменения  $U_{\text{пп}}$  сопровождаются уменьшением  $R_0$  на 1–2 порядка и увеличением  $C_0$  на 5–10 %, что подтверждает выводы, сделанные на основе анализа поведения пиrottклика. Измерения на образцах с охранными кольцами и опыты по механической обработке поверхности показали, что изменения электропроводности  $G_0$  существенны не только в приповерхностном слое, но и в объеме материала.

Параметры ПЭЛ и величины  $U_{\text{пп}}$ ,  $R_0$ ,  $C_0$ , близкие к исходным, постепенно восстанавливаются в процессе отжига образцов при  $T=350 \text{ К}$  в течение нескольких часов при наличии низкочастотного переменного или реверсируемого постоянного электрического поля напряженностью около 1 кВ/см. При этом отжиг практически не изменяет энергию активации электропроводности, величина которой составляет примерно 0.9 эВ, что близко к литературным данным [3]. Однако в отличие от ПЭЛ исходных образцов ПЭЛ восстановленных

кристаллов  $\text{Li}_2\text{GeO}_3$  при высоких  $P$  состоит только из отдельных вспышек света (рис. 1, кривые 2, 1), а непрерывный фон наблюдается только при пониженных давлениях окружающего газа ( $P \leq 30$  Па).

Наблюдение динамических вольт-амперных характеристик (ВАХ) в процессе отжига кристаллов показало, что восстановление высоких значений  $R_0$  происходит после серии скачкообразных и плавных изменений наклона ВАХ. При этом приложение внешнего поля напряженностью  $10^3$ — $10^4$  В/см в промежуточном состоянии в некоторых случаях вызывало скачкообразное увеличение наклона ВАХ, сохранявшееся некоторое время.

Сопоставление экспериментальных данных по поведению пироотклика и ПЭЛ показало, что для  $\text{Li}_2\text{GeO}_3$ , как и для ряда других исследованных нами материалов [9], наблюдается корреляция в поведении пироэлектрических характеристик и ПЭЛ: участок интенсивной ПЭЛ обнаружен в области низкотемпературной аномалии  $U_n$ , а максимальная интенсивность ПЭЛ наблюдается в интервале 140—240 К, где максимальна интенсивность скачкообразных изменений  $U_n$  при изменении температуры. Отсутствие ПЭЛ ниже 20 К связано, по-видимому, с существенным понижением  $\gamma/e$ , а отсутствие ПЭЛ выше 240 К является следствием роста электропроводности  $\text{Li}_2\text{GeO}_3$ .

Наблюдаемое при термоциклировании при пониженном давлении уменьшение  $U_n$  и  $I_{\text{ПЭЛ}}$ , сопровождающееся существенным увеличением  $G_0$ , не может быть объяснено только изменением свойств окружающей газовой атмосферы как разрядной среды. При изменении давления происходит также изменение условий обмена носителями заряда между электронной подсистемой объема кристалла, приповерхностными состояниями, адсорбционными уровнями и околообъектной средой (непосредственно прилегающей к поверхности кристалла областью газовой фазы). При термоциклировании изменения  $E_n$  приводят к изменению условий электрополевой адсорбции и десорбции, что вызывает постепенное изменение околообъектной среды. Это приводит к изменению условий экранирования поля спонтанной поляризации [15] и, как следствие, к переходу от экранирования, осуществляющегося в основном путем поставки носителей заряда из окружающей газовой фазы, к экранированию, осуществляющемуся за счет собственных носителей заряда.

При недостатке свободных носителей заряда, необходимых для экранирования  $E_n$ , развиваемое при изменении температуры кристалла электрическое поле достигает значений  $E_n \approx 10^6$  В/м при  $\Delta T = 10$  К. Такие поля достаточны для термополевой генерации носителей заряда из ловушек и могут приводить к развитию внутреннего пробоя, наиболее вероятному вблизи концентраторов поля [16] — структурных неоднородностей различного типа. Развитие пробойных явлений в свою очередь приводит к структурным изменениям в кристалле, в результате которых происходит образование как свободных носителей заряда, принимающих участие в экранировании, так и дефектных областей с повышенной проводимостью, по которым осуществляется перенос электрического заряда. Неизменность энергии активации электропроводности при увеличении  $G_0$  в процессе термоциклирования при пониженных давлениях свидетельствует о том, что при этом происходит увеличение концентрации собственных дефектов одинаковой природы.

Наблюдаемое при отжиге восстановление свойств кристаллов  $\text{Li}_2\text{GeO}_3$  можно связать с разрывом и залечиванием проводящих областей, образовавшихся при пироэлектрическом пробое. Подобная обратимость изменений электрических параметров вследствие пробойных явлений наблюдается в ряде оксидных материалов [17]. Процессы образования и залечивания проводящих областей в  $\text{Li}_2\text{GeO}_3$  могут быть облегчены наличием ионной проводимости [18], природа которой близка к литий-cationной проводимости других представителей класса германатов лития — твердых электролитов  $\text{Li}_4\text{GeO}_4$  [18] и  $\text{Li}_6\text{Ge}_2\text{O}_7$ , [19].

Сравнивая поведение  $U_n(T)$  кристаллов  $\text{Li}_2\text{GeO}_3$ ,  $\text{LiNbO}_3$  и  $\text{LiTaO}_3$  [12], а также вид и характер ПЭЛ этих материалов [10], легко заметить их подобие. Изучение зависимостей  $U_n(T)$  и ПЭЛ кристаллов  $\text{LiNbO}_3$  и  $\text{LiTaO}_3$ , проведенное нами в тех же условиях, что и для  $\text{Li}_2\text{GeO}_3$ , показало, что  $\text{LiNbO}_3$  и  $\text{LiTaO}_3$ , хотя и в меньшей степени, чем  $\text{Li}_2\text{GeO}_3$ , свойственны изменения пироэлектрических и пиролюминесцентных характеристик. Так, после цикла охлаждение—

нагрев при  $P=10^5$  Па конечные величины  $U_{\text{в2}}$  меньше исходных примерно на 20—30 %, а  $U_{\text{п1}}$  — на 10—15 %. Восстановление свойств  $\text{LiNbO}_3$  и  $\text{LiTaO}_3$  происходит в течение нескольких недель пребывания в атмосфере воздуха при комнатной температуре.

Полученные для  $\text{Li}_2\text{GeO}_3$  при 293 К величины параметров пироэлектрического качества  $M_1=\gamma/c \approx 10^{-11}$  А·м/Вт,  $M_2=\gamma/c \approx 10^{-12}$  Кл·м/Дж близки к известным для  $\text{LiNbO}_3$  и  $\text{LiTaO}_3$ .

В заключение отметим, что результаты, полученные для  $\text{Li}_2\text{GeO}_3$ , показывают эффективность комплексных исследований пироэлектрических явлений и электрических характеристик для выяснения природы усталостных явлений в пироактивных материалах.

Авторы благодарны Я. М. Олиху за предоставленные для исследования образцы  $\text{Li}_2\text{GeO}_3$ .

### Список литературы

- [1] Skott B. A., Ingebrigtsen K. A., Tseng C. C. // Mat. Res. Bull. 1970. Vol. 5. N 12. P. 1045—1049.
- [2] Hirano H., Matsumura S. // Jap. J. Appl. Phys. 1974. Vol. 13. N 1. P. 17—23.
- [3] Волнянский М. Д., Грежгоржеевский О. А., Кудзин А. Ю., Флерова С. А. // ФТТ. 1976. Т. 18. Вып. 3. С. 863—864.
- [4] Беляев А. Д., Миселюк Е. Г., Олих Я. М. и др. // Кристаллография. 1985. Т. 30. № 6. С. 1131—1135.
- [5] Haussühl S., Liebertz J., Stähr S. // Cryst. Res. and Technol. 1982. Vol. 17. N 4. P. 521—526.
- [6] Бистанов А. В., Макареевская Е. В., Гераськин В. В. и др. // ФТТ. 1978. Т. 20. Вып. 9. С. 2575—2580.
- [7] Hanson D. M., Patel J. S., Nelson M. C. // Mater. Sci. 1984. Vol. 10. N 4. P. 549—469.
- [8] Бравина С. Л., Морозовский Н. В. // ФТП. 1984. Т. 18. Вып. 11. С. 1944—1949.
- [9] Бравина С. Л., Кадашук А. К., Морозовский Н. В. и др. // ЖТФ. 1988. Т. 58. Вып. 7. С. 1404—1407.
- [10] Розенман Г. И., Рез И. С., Чепелев Ю. Л., Ангерт Н. В. // ЖТФ. 1981. Т. 51. Вып. 2. С. 404—408.
- [11] Каменец В. П., Некрасов А. В. // Сегнетоэлектрики и пьезоэлектрики. Калинин, 1985. С. 131—136.
- [12] Лайнс М., Гласс А. Сегнетоэлектрики и родственные им материалы. М.: Мир, 1981. 736 с.
- [13] Lawless W. N. // Phys. Rev. B. 1976. Vol. 14. N 1. P. 134—143.
- [14] Рудак В. М. Процессы переключения в нелинейных кристаллах. М.: Наука, 1986. 243 с.
- [15] Попик Ю. В., Жихарев В. Н., Беца В. В. // ФТТ. 1982. Т. 24. Вып. 2. С. 486—493.
- [16] Савинов А. М., Сидоркин А. С., Чернышев В. В., Либерман З. А. // ЖТФ. 1985. Т. 55. Вып. 9. С. 1877—1879.
- [17] Сандомирский В. Б., Суханов А. А. // Зарубежная электроника. 1976. № 9. С. 68—101.
- [18] Liebert B. E., Higgins R. A. // Mat. Res. Bull. 1976. Vol. 11. N 5. P. 533—537.
- [19] Бурмакин Е. И., Аликин В. Н. // Изв. АН СССР. Неорг. материалы. 1985. Т. 20. № 1. С. 170—171.